

# Heliosens mologie

f-úid: resonančný polomer  $\odot$

$$\omega^2 = g k_r = \frac{GM_0}{R_0^2} \frac{\sqrt{l(l+1)}}{R_0}$$

$$\Rightarrow R_0 = \left[ \frac{\sqrt{l(l+1)} GM_0}{\omega^2} \right]^{1/3}$$

minimálne  $\omega = \omega(l)$ ,  $R_0$ tedy fiteru & k'Ar zadržalok.

$R_{resonant} \sim 695, 68 \text{ Mm}$

$R_{opt} \sim 695, 99 \text{ Mm}$

0,3 Mm nejvyšší k'auči nepřímým modelu podpořilové kouřové - ořevněje disperzní relac

## Duralliv zákon

rezonanční podmínka pro p-úid

$$\int_{r_c}^{R_0} k_r dr = \pi(u+\alpha) = \int_{r_c}^{R_0} \left[ \frac{\omega^2}{c^2} - \frac{l(l+1)}{r^2} \right]^{1/2} dr \quad \Big| \cdot \frac{1}{\omega}$$

$$\int_{r_c}^{R_0} \left( \frac{r^2}{c^2} - \frac{l(l+1)}{\omega^2} \right) \frac{dr}{r} = \frac{\pi(u+\alpha)}{\omega}$$

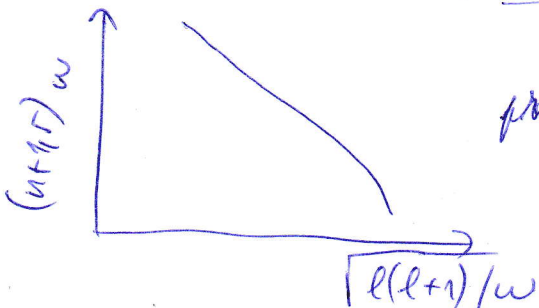
záměna  $\frac{\sqrt{l(l+1)}}{\omega}$   $\frac{k(r_c)}{r_c} = \frac{\omega}{\sqrt{l(l+1)}}$

$\Rightarrow$  integrand náleží je funkce  $\frac{\omega}{\sqrt{l(l+1)}}$

$$\mathcal{F} \left[ \frac{l(l+1)}{\omega} \right] = \frac{\pi(u+\alpha)}{\omega}$$

$\Rightarrow$  2-D disperzní relace pro  $\omega = \omega(n, l)$  kolabuje na 1-D relac mezi  $\frac{\sqrt{l(l+1)}}{\omega}$  a  $\frac{u+\alpha}{\omega}$

$\Rightarrow$  Duralliv zákon



pro  $l \sim 0 - 250$

# Inwersja d'Alambert

→ podstawiamy najpierw kątowe (czyli słownie) nasze dane, a potem szukamy różniczek i wyznaczamy funkcje

$c \rightarrow c + \delta c \leftarrow$  perturbacja w wykładniku

$w \rightarrow w + \delta w \leftarrow$  perturbacja w funkcji

$$\int_{r_0}^R \left[ \frac{(w + \delta w)^2}{(c + \delta c)^2} - \frac{l(l+1)}{r^2} \right]^{1/2} dr = \sqrt{1+x}$$

$$r_0 \quad l(l+1) \equiv L^2$$

rozwiń pod pierwiastkiem  $\frac{\delta w}{w}$ , pod pierwiastkiem  $\frac{\delta c}{c}$ , potasuj i stępnij by mieć najpierw

$$\delta w: \left[ \left( \frac{w + \delta w}{c} \right)^2 - \frac{L^2}{r^2} \right]^{1/2} = \left[ \frac{w^2}{c^2} \left( 1 + \frac{\delta w}{w} \right)^2 - \frac{L^2}{r^2} \right]^{1/2} = \left| \sqrt{1+x^2} \sim 1 + \frac{x}{2} \right|$$

$$= \left[ \frac{w^2}{c^2} \left( 1 + \frac{2\delta w}{w} \right) - \frac{L^2}{r^2} \right]^{1/2} = \left[ \frac{w^2}{c^2} - \frac{L^2}{r^2} + \frac{2\delta w w}{c^2} \right]^{1/2} =$$

$$= \sqrt{\frac{w^2}{c^2} - \frac{L^2}{r^2}} \left[ 1 + \frac{\frac{2\delta w w}{c^2}}{\frac{w^2}{c^2} - \frac{L^2}{r^2}} \right]^{1/2} = \left| \sqrt{1+x} \sim 1 + \frac{x}{2} \right| =$$

$$= \underbrace{\sqrt{\frac{w^2}{c^2} - \frac{L^2}{r^2}}}_A + \frac{\frac{\delta w w}{c^2}}{\sqrt{\frac{w^2}{c^2} - \frac{L^2}{r^2}}} = A + \frac{\frac{\delta w w}{c^2}}{\frac{w^2}{c^2} \left( 1 - \frac{L^2}{r w^2} \right)^{1/2}} =$$

$$= A + \frac{\delta w}{c} \frac{1}{\left( 1 - \frac{L^2}{r w^2} \right)^{1/2}}$$

$$\delta c: \left[ \left( \frac{w}{c + \delta c} \right)^2 - \frac{L^2}{r^2} \right]^{1/2} = \left[ \frac{w^2}{c^2} \frac{1}{\left( 1 + \frac{\delta c}{c} \right)^2} - \frac{L^2}{r^2} \right]^{1/2} =$$

$$= \left[ \frac{w^2}{c^2} \frac{1}{1 + \frac{2\delta c}{c}} - \frac{L^2}{r^2} \right]^{1/2} = \left| \frac{1}{1+x} \sim 1-x \right| =$$

$$= \left[ \frac{w^2}{c^2} \left( 1 - \frac{2\delta c}{c} \right) - \frac{L^2}{r^2} \right]^{1/2} = \left[ \frac{w^2}{c^2} - \frac{L^2}{r^2} - \frac{2\delta c w^2}{c^3} \right]^{1/2} =$$

$$= \sqrt{\frac{w^2}{c^2} - \frac{L^2}{r^2}} \left( 1 - \frac{\frac{2\delta c w^2}{c^3}}{\frac{w^2}{c^2} - \frac{L^2}{r^2}} \right)^{1/2} = \left| \sqrt{1-x} \sim 1 - \frac{x}{2} \right| =$$

$$= \sqrt{\frac{\omega^2}{c^2} - \frac{L^2}{r^2}} - \frac{dc}{c} \frac{\omega^2}{c^2} \frac{1}{\frac{\omega}{c} \sqrt{1 - \frac{L^2 c^2}{r^2 \omega^2}}} = A - \frac{dc}{c} \frac{\omega}{c} \frac{1}{\sqrt{1 - \frac{L^2 c^2}{r^2 \omega^2}}}$$

porovnat

$$\int_{r_t}^{R_0} \left[ A + \frac{d\omega}{c} \frac{1}{\left(1 - \frac{L^2 c^2}{r^2 \omega^2}\right)^{1/2}} \right] dr = \int_{r_t}^{R_0} \left[ A - \frac{dc}{c} \frac{\omega}{c} \frac{1}{\sqrt{1 - \frac{L^2 c^2}{r^2 \omega^2}}} \right] dr$$

$$\int_{r_t}^{R_0} \frac{d\omega}{c} \left(1 - \frac{L^2 c^2}{r^2 \omega^2}\right)^{-1/2} dr = - \int_{r_t}^{R_0} \frac{dc}{c} \frac{\omega}{c} \left(1 - \frac{L^2 c^2}{r^2 \omega^2}\right)^{-1/2} dr$$

$$\frac{d\omega}{\omega} \int_{r_t}^{R_0} \frac{1}{c} \frac{1}{\sqrt{1 - \frac{L^2 c^2}{r^2 \omega^2}}} dr = - \int_{r_t}^{R_0} \frac{dc}{c} \frac{1}{c} \frac{1}{\sqrt{1 - \frac{L^2 c^2}{r^2 \omega^2}}} dr$$

$$\frac{d\omega}{\omega} = - \frac{1}{\omega} \int_{r_t}^{R_0} \frac{dc}{c} \frac{1}{\sqrt{1 - \frac{L^2 c^2}{r^2 \omega^2}}} dr$$

↑ ... nepoužívaj travel-time  
kernel koe

priména' sound-speed perturbace podle paprodu

je to travel-time?

trasa paprodu: ~~extremalová~~ trajektorie

$$\vec{N}_g = \frac{\partial \vec{r}}{\partial t} = \frac{\partial \omega}{\partial \vec{r}}$$

radválnu:  $\frac{dr}{dt} = \frac{\partial \omega}{\partial t_r}$

úhlnu:  $r \frac{d\vec{r}}{dt} = \frac{\partial \omega}{\partial t_r}$

dispersní vlnu  $\omega^2 = c^2 (k_r^2 + k_n^2) + \omega_c^2, \omega_c^2 \ll \omega^2$

pal:  ~~$\frac{dr}{dt} = \frac{\partial \omega}{\partial t_r}$~~

$$\frac{dr}{dt} = \frac{\partial \omega}{\partial t_r} = \frac{\partial}{\partial t_r} \left( c \sqrt{k_r^2 + k_n^2} \right) = c \frac{1}{2 \sqrt{k_r^2 + k_n^2}} \cdot 2 k_r = \frac{c^2 k_r}{\omega}$$

$$\Rightarrow dt = dr \frac{\omega}{c^2} \frac{1}{k_r} = dr \frac{\omega}{c^2} \frac{1}{\sqrt{\frac{\omega^2}{c^2} - \frac{L^2}{r^2}}} = dr \frac{\omega}{c^2} \frac{1}{\frac{\omega}{c} \sqrt{1 - \frac{L^2 c^2}{k_r^2 r^2}}} =$$

$$= \frac{dr}{c} \frac{1}{\sqrt{1 - \frac{L^2 c^2}{k_r^2 r^2}}}$$

$$T = \int_{r_t}^{r_0} dt = \int_{r_t}^{r_0} \frac{1}{c} \frac{dr}{\sqrt{1 - \frac{L^2 c^2}{k_r^2 r^2}}}$$

C.B.D.

rovnice pro paprsek:  $r \frac{d\sigma}{dr} = \frac{\partial \omega}{\partial k_r} / \frac{\partial \omega}{\partial k_r} = \frac{k_y}{k_z} =$

$$= \frac{\frac{L}{r}}{\sqrt{\frac{\omega^2}{c^2} - \frac{L^2}{r^2}}}$$

popisuje trajektorii sluy v paprsku  
aproximac.

$$\frac{d\omega}{\omega} = - \frac{1}{r} \int_{r_t}^{r_0} \frac{dr}{c} \frac{\partial \omega}{\partial k_r} \frac{\partial \omega}{\partial k_r} dr$$

ke inverzní analytický

Abelova integrální rovnice

→ inverzní řešení zobrazení

(asymptotická)

Alternativní:

hard wave

$$k_r \approx \frac{\omega}{c} \approx \int_{r_t}^{r_0} \frac{1}{c} \frac{dr}{\sqrt{1 - \frac{L^2 c^2}{k_r^2 r^2}}}$$

$$c = c(q_k)$$

$$q_k = \{ p_1, p_1, \vec{p}_1, \vec{p}_1, \dots \}$$

→ a... kombinace  $q_k$

uvádíme hard wave s parametrizací pomocí konzervované

$\phi(k, \omega)$  ... měřem

$\bar{F}_\omega(k, \omega)$  ... filtr



$$\psi(t, \omega) = F_a(t, \omega) \delta(t, \omega) \quad \text{je filtrovaná kóstra}$$

cross-covariance:

$$C(\vec{x}_1, \vec{x}_2, t) = \frac{1}{T-|t|} \sum_{t'} \psi(\vec{x}_1, t') \psi(\vec{x}_2, t'+t) =$$

$$= \int_0^T dt' \psi(\vec{x}_1, t') \psi(\vec{x}_2, t'+t)$$

T ... doba pozorování

$$-\frac{T}{2} \leq t' \leq \frac{T}{2}$$

jestliže se měří  $\tau_a^0$  ... pozorovaný hranl time,  
kdy je  $C(x_1, x_2, t)$  maximální

tedy

$$\chi^2 = \frac{1}{2} \sum_a \frac{(\tau_a - \tau_a^0)^2}{\delta \tau_a} \quad \dots \text{můžeme uvažovat}$$

pozorování a model → minimalizujeme

$$\delta \chi^2 = \sum_a (\tau_a - \tau_a^0) \frac{\partial \tau_a}{\partial q_\alpha} \delta q_\alpha$$

$\frac{\partial \tau_a}{\partial q_\alpha}(\vec{x}_1, \vec{x}_2) \dots$  je kernel  
Fréchetova derivace

Obecně:

formální

$$\omega^2 \vec{q}_\alpha = \mathcal{L}(\vec{q}_\alpha) \quad \vec{q}_\alpha \dots \text{vektor parametrů}$$

↳ řešení zinná na perturbacích a pozici

↳ klasický problém

uvažovat  $q_\alpha^*$  a interpretovat přes 0

$$\omega^2 \int_0 q_\alpha^* \cdot q_\alpha d^3r = \int_0 q_\alpha^* \cdot \mathcal{L}(q_\alpha) d^3r$$

$$\Rightarrow \omega^2 = \frac{\int_0 q_\alpha^* \cdot \mathcal{L}(q_\alpha) d^3r}{\int_0 q_\alpha^* \cdot q_\alpha d^3r}$$

skuteční parametry jsou  $r$  a  $\mathcal{L}$  (ve vnitřní struktuře), řešení jsou klasický vektor  $q_\alpha$   
použitelný model → změna se řešení

malá porucha:  $\tilde{\alpha}(q_\alpha) = \tilde{\alpha}_0(q_\alpha) + \tilde{\alpha}_1(q_\alpha)$

tedy  $\omega^2 + \delta\omega^2 = \frac{\int_0 d^3r q_\alpha^* \cdot \tilde{\alpha}(q_\alpha)}{\int_0 q_\alpha^* \cdot q_\alpha d^3r} =$

$$= \frac{\int_0 d^3r q_\alpha^* \cdot \tilde{\alpha}_0(q_\alpha)}{\int_0 q_\alpha^* \cdot q_\alpha d^3r} + \frac{\int_0 d^3r q_\alpha^* \cdot \tilde{\alpha}_1(q_\alpha)}{\int_0 q_\alpha^* \cdot q_\alpha d^3r}$$

$$\Rightarrow \delta\omega^2 = \frac{\int_0 d^3r q_\alpha^* \tilde{\alpha}_1(q_\alpha)}{\int_0 q_\alpha^* \cdot q_\alpha d^3r}$$

I ... mode mass  $I = \int_0 d^3r q_\alpha^* \cdot q_\alpha$

$$2\omega_0 \delta\omega = \frac{\int_0 d^3r q_\alpha^* \cdot \tilde{\alpha}_1(q_\alpha)}{I} \quad | : 2\omega_0^2$$

$$\frac{\delta\omega}{\omega_0} = \frac{\int_0 d^3r q_\alpha^* \tilde{\alpha}_1(q_\alpha)}{2\omega_0^2 I}$$

$\tilde{\alpha}_1$  je třeba převést formulovat  $\rightarrow$  středem v proměnných

$$\Rightarrow \frac{\delta\omega}{\omega} = \int_0 d^3r \left[ \underbrace{K_p}_{\text{elastická}} \frac{\delta\varphi}{\rho} + \underbrace{K_{e2}}_{\text{elastická}} \frac{\delta\epsilon^2}{e^2} + \underbrace{K_N}_{\text{elastická}} \cdot \delta\omega + \dots \right]$$

elastická jádra  
akustická jádra

Jak počítat jádra?

formální:

dvě páry proměnných; napiš:  $\vec{X} = \left( \frac{\delta\varphi}{\rho}, \frac{\delta\epsilon^2}{e^2} \right), \vec{Y} = \left( \frac{\delta\omega}{\omega}, \frac{\delta\varphi}{\rho} \right)$   
 $\omega = \frac{1}{\rho}$

lineární stacionární rovnice (hydrostatická rovnice, stavová rovnice)

$$A \vec{X} = \vec{Y}$$

pokud  $\vec{K}_x$  a  $\vec{K}_y$  rovněž pro  $X$  a  $Y$

$$\frac{\delta w}{\omega} = \int_{\mathcal{V}} \vec{K}_x \cdot \vec{X} d^3r = \langle \vec{K}_x, \vec{X} \rangle$$

podobně  $\frac{\delta w}{\omega} = \langle \vec{K}_y, \vec{Y} \rangle$  aplikujeme ve  
mnohém štáby

$$\langle \vec{K}_y, \vec{Y} \rangle = \langle \vec{K}_y, A \vec{X} \rangle = \langle A^* \vec{K}_y, \vec{X} \rangle$$

$A^*$  ... sdružená matice

je to rovná  $\langle \vec{K}_x, \vec{X} \rangle$

$$\langle A^* \vec{K}_y, \vec{Y} \rangle = \langle \vec{K}_x, \vec{X} \rangle$$

$$\Rightarrow \underline{A^* \vec{K}_y = \vec{K}_x}$$

rovnice pro ydla jsou sdružená rovnice  
štáby

podobně pro time-distance:

forward:

$$\delta C^a(L) = \int_0^L d^2r dz \sum_{B=1}^p K_B^a(r, r_1, z) \delta q_B(L_1, z) + u^a(L)$$

kovarianční matice jsou:  $K_{ab}(r_i, r_j) = \text{cov}[u^a(r_i), u^b(r_j)]$

$$\text{Tr}[K_{ab}] = \sigma_a^2$$

inverse: RLS (regularized least squares)

$$\mathcal{J}^2 = \sum_a \frac{1}{\sigma_a^2} \left[ \delta C^a - \int_0^L d^2r dz \sum_B K_B^a \delta q_B \right]^2 + \mu L (q_\alpha)$$

↑  
regularizující

operátor

(např.  $L = |q_\alpha|^2$ )

nebo  $L = \left( \frac{\partial^2 q_\alpha}{\partial z^2} \right)^2 \dots$

minimalizujeme,  $\frac{\partial \mathcal{J}^2}{\partial q_\alpha} = 0$  soustava rovnic

**OLA** - ... optimally localized averaging

hledáme řešení;

dosadíme

$$\begin{aligned} \delta q_\alpha^{iuv}(r_0, z_0) &= \sum_i \sum_a w_a^\alpha(r_i - r_0, z_0) \delta v^a(r_i) \\ &= \int_0 d^2r dz \sum_B \left[ \sum_{i \in B} w_a^\alpha(r_i - r_0, z) K_B^a(r^2 - r_i, z) \right] \delta q_B(r, z) \\ &\quad + \sum_{i \in a} w_a^\alpha(r_i - r_0, z_0) v^a(r_i) \end{aligned}$$

definujeme:  $\mathcal{K}_B^\alpha(r_i, z; z_0) = \sum_i \sum_a w_a^\alpha(r_i, z) K_B^a(r_i - r_0, z)$

$\downarrow$   $\forall B \in P$   
 $\hookrightarrow$  primární funkce

pro

$$\begin{aligned} \delta q_\alpha^{iuv}(r_0, z_0) &= \int_0 d^2r dz \mathcal{K}_\alpha^\alpha(r^2 - r_0, z; z_0) \delta q_\alpha(r, z) + \\ &\quad + \int_0 d^2r dz \sum_{B, B \neq \alpha} \mathcal{K}_B^\alpha(r^2 - r_0, z; z_0) \delta q_B(r, z) + \\ &\quad + \sum_{i \in a} w_a^\alpha(r_i - r_0, z_0) v^a(r_i) \end{aligned}$$

předepíšeme penalizační funkci:

$$\mathcal{M}_\alpha(w_{i, \mu}^\alpha) = \int_0 d^2r dz \sum_B \left[ \mathcal{K}_B^\alpha - J_B^\alpha \right]^2 + \mu \sum_{i, j \in a, b} w_a^\alpha(r_i) \Lambda_{ab}(r_i - r_j) w_b^\alpha(r_j)$$

řešení:  $\frac{\partial \mathcal{M}}{\partial w^\alpha} \stackrel{!}{=} 0$

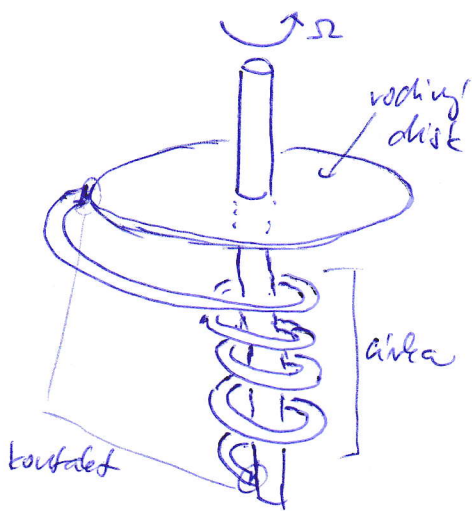
ale dokázat, že:  $\delta_\alpha^2 = \sum_{a, b \in i, j} w_a^\alpha(r_i) \Lambda_{ab}(r_i - r_j) w_b^\alpha(r_j)$

+ constraint  $\int_0 d^2r dz \mathcal{K}_B^\alpha = \delta_{B\alpha}$

$\hookrightarrow$  připijit pomocí Lagrangeových multiplikátorů



## Homogenní dynamika



rotujícího kroužkového proudem  $I(t)$   
 využít  $I(t)$  k vytváření?  
 maj. pole buzení proudem tok  $\Phi = MI$

$M$ ... indukční dráha a dráha

rotace = změna  $\Phi$

rotace = změna  $\Phi$

$$\mathcal{E} = \frac{d\Phi}{dt} = \frac{\Omega}{2\pi} \Phi = \frac{\Omega}{2\pi} MI$$

pro proud  $L \frac{dI}{dt} + RI = \mathcal{E} = \frac{\Omega}{2\pi} MI$

řešení  $I(t) = I_0 e^{j\omega t}$

$$j\omega = \frac{1}{L} \left( \frac{M}{2\pi} \Omega - R \right)$$

$L$ ... indukční dráha

uděláme pro  $j\omega > 0$

$$\rightarrow \Omega > \frac{2\pi R}{M}$$

$\Rightarrow$  rychlá rotace = generace proudů

## Mean-field dynamika

$$\frac{\partial B}{\partial t} = \nabla \times (\kappa \times B) + \eta \Delta B = \nabla \times [\kappa \times B - \eta \nabla \times B]$$

definujeme:  $B = \langle B \rangle + b \leftarrow$  fluktuace

$\hookrightarrow$  stridy

$$\kappa = \langle \kappa \rangle + \omega \quad \langle \omega \rangle = 0$$

dosadíme:  $\frac{\partial}{\partial t} (\langle B \rangle + b) = \nabla \times [(\langle \kappa \rangle + \omega) \times (\langle B \rangle + b) - \eta \nabla \times (\langle B \rangle + b)]$

střední část: (střední část  $\uparrow$ )

$$\frac{\partial \langle B \rangle}{\partial t} = \nabla \times [\langle \kappa \rangle \times \langle B \rangle + \langle \omega \times b \rangle - \eta \nabla \times \langle B \rangle]$$

fluktuacija: (= plovodni - stridni)

$$\frac{\partial \phi}{\partial t} = \nabla \times [\langle v \rangle \times b + w \times \langle B \rangle + w \times b - \langle w \times b \rangle - q \nabla \times b]$$

definiranje:

$$E = \langle w \times b \rangle$$

$$G = w \times b - \langle w \times b \rangle$$

elektromotno polje vztrajno fluktuacijami  
odkazuje.

Uraha:  $b$  a  $\langle B \rangle$  n linearne relacije

$E$  a  $b$  n linearne relacije

$\Rightarrow E$  a  $\langle B \rangle$  bi mogly byt linearna

$$\text{tedy: } E = \alpha \langle B \rangle - \beta \nabla \times \langle B \rangle + \dots$$

pro izotropni turbulentni:  $\alpha = \frac{1}{3} \langle w \cdot \nabla \times w \rangle \tau$

$$\beta = \frac{1}{3} \langle w \cdot w \rangle \tau$$

$\tau$  ... korelacni cas

$w \cdot \nabla \times w$  ... kvadrata hitlosti

$$\Rightarrow \frac{\partial \langle B \rangle}{\partial t} = \nabla \times \left[ \underbrace{\langle v \rangle \times \langle B \rangle}_{\Omega \text{ efekt}} + \underbrace{\alpha \langle B \rangle}_{\alpha \text{ efekt}} - (\zeta + \beta) \nabla \times \langle B \rangle \right]$$

$\zeta + \beta = \zeta_t$  ... turbulentni viskozita

$\alpha$ -efekt  $\rightarrow$  toroidalni  $\rightarrow$  poloidalni

$\Omega$ -efekt  $\rightarrow$  poloidalni  $\rightarrow$  toroidalni

$\alpha$ : problem:

odhad:  $\alpha = \frac{1}{3} \tau \Omega$   $\leftarrow$  wt. vzdolh

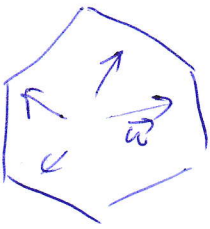
$\hookrightarrow$  klouz. d'le  
zidle hitlosti n druzim m'itost (vody opaci)

numericky:  $\alpha = \frac{\langle w \times b \rangle \cdot \langle B \rangle}{B_H^2}$  efektu konverzicni  
pole (strany)

$$\alpha \in \langle \sim \text{m/s}, \sim 100 \text{m/s} \rangle$$

# Skvrny

konzentrace toku supergranulací:



rovnováha: vydeštní vzpádů:  $\sim \frac{d^2}{\xi} \leftarrow$  difuzivita  
stejná jako advekce ke okrajům  $\frac{l}{w}$  (steady in state)  
d... velikost elementu, l... velikost supergranule

$$v = \frac{d^2}{\xi} = \frac{l}{w} \Rightarrow d^2 = \frac{l^2}{w} = \frac{l^2}{k_{sw}}$$

Lang. Reynoldsův  
číslo

odhad koncentrací toku: celý požadovaný tok se koncentruje do elementu:

$$B_0 l^2 = B d^2 \\ \Rightarrow B = \frac{B_0 l^2}{d^2} = \frac{B_0 l^2}{l^2/k_{sw}} = k_{sw} B_0$$

char. čas:  $l = 30 \text{ km}$ ,  $k_{sw} = 10^4$ ,  $B_0 \sim 0,1 \text{ G}$ ,  $w \sim 300 \text{ m/s}$

$\Rightarrow d = 300 \text{ km}$ ,  $B \sim 10^5 \text{ G} \leftarrow$  lze vytvořit  
strun

$$v = \frac{l}{w} = 10^5 \text{ s} \sim 1 \text{ den}$$

proti tomu: koncentrace se zastaví v gravitačním  
hladině:

$$\frac{B}{2\mu} \sim \frac{\rho w^2}{2} \Rightarrow B \sim \sqrt{\mu \rho} w$$

pro fotosféru:  $\rho = 3 \times 10^{-9} \text{ kg/m}^3$   
 $w \sim 300 \text{ m/s}$

$$\Rightarrow \underline{B \sim 60 \text{ G}}$$

$\Rightarrow$  nelze vytvořit strunu, musí se jít nah

## konektivní tok

-vertikální mag. trubice: adiabatické vyduštemí dle  
 $\rightarrow$  materiál v trubce chladne  $\rightarrow$  posouvá se  
pohyb dle ...

$\left| \begin{matrix} p_i \\ \downarrow v \\ \uparrow B \end{matrix} \right| P$

konstanta,  $P = p_0 + \frac{B^2}{2\mu}$

polyr. vce:  $\frac{\partial v}{\partial t} + v \frac{\partial v}{\partial x} + \frac{\partial p}{\partial x} = 0$

$\frac{\partial v}{\partial t} + \frac{\partial}{\partial x} \left( \frac{1}{2} v^2 + \frac{p}{\rho} - \frac{B^2}{2\mu} \right) = 0$

hledáme char. rovnici  $\Rightarrow$  integrujeme přes čas  
 funkce:  $\int_{x_1}^{x_2} \dots dx = \langle \dots \rangle$

máme stac. pole  $\Rightarrow \frac{\partial}{\partial t} \langle v \rangle = 0$

$\Rightarrow \langle P + \frac{1}{2} \rho v^2 - \frac{B^2}{2\mu} \rangle = \text{konst} = \langle p_0 \rangle$

tedy  $\langle \frac{B^2}{2\mu} \rangle = \langle P \rangle + \frac{1}{2} \langle \rho v^2 \rangle - \langle p_0 \rangle$

$\Rightarrow$  mag. pole máte nižším tlakem než polem  
 podél trubice

detailují: kolap stabilní pro pole  $> 0,1 T$

Magnetická vzpětnost

$\rightarrow$  horizontální trubice v kč bez pole

$P_e = p_0 + \frac{B^2}{2\mu}$  konstanta  $\frac{p_0 i_0 \rightarrow B_0}{p_e i_e}$

$p = \frac{AT}{\mu}, \mu \approx 1$

$\rightarrow AT (j_e - j_0) = \frac{B_0^2}{2\mu}; j_0 < j_e \dots$  vzpětná síla  $(j_e - j_0) j$

pokud je vzpětná síla větší než tíže trubice  $\rightarrow$   
 $\Rightarrow$  vzpětná

Lorentzova síla:  $f_L = j \times B = \frac{(\nabla \times B) \times B}{\mu} = \underbrace{\frac{(B \cdot \nabla) B}{\mu}}_{\text{tlak}} - \underbrace{\nabla \frac{B^2}{2\mu}}_{\text{práce pole}}$



$\frac{(B \cdot \sigma) B}{\rho} \sim \frac{B_i^2}{\rho l}$  ... l - char. lenght perturbation,  
 restabilite,  $(\rho_c - \rho_i) g > \frac{B_i^2}{\rho l}$  ↑ z rovnouvaly klasi

$$\Rightarrow (\rho_c - \rho_i) g > \frac{2 \rho T (\rho_c - \rho_i)}{l}$$

$$\Rightarrow l > \frac{2 \rho T}{g} = 2 H_p$$

$$\frac{dp}{dr} = -\rho g = \rho \frac{1}{\rho} \frac{dp}{dr} = \rho \frac{d \ln p}{dr} = - \frac{\rho}{H_p}$$

$$\frac{\rho}{g} = \rho T \Rightarrow \frac{\rho}{\rho g} = \frac{\rho T}{g} = H_p$$

tedy pokud perturbace dost velka → turbulence  
 nestabilni a vyplyva

das vyhodnam,  $\tau \sim \frac{d}{c_A}$ , d... vlnovka

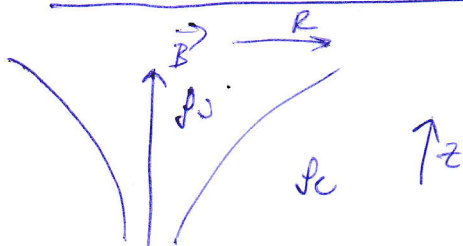
pro 10 kg na duvi k z

$$(\rho = 200 \text{ kg/m}^3, d = 200 \text{ Mm})$$

$\tau \sim 2$  mikrosekundy ( $c_A$  klesá k prvním, takže dle,  $\tau$  spíše udr)

pokud  $\tau > \tau_{crit} \sim$  oslabuje konvekci  
 silou, deflece k vyšším  
 sítkám

**MMS model slonny**



$$B = B(r)$$

$$\max(B) = B_i = B(r=0)$$

$$B(r \rightarrow \infty) = 0$$

$$\rho_i = \rho_i(z)$$

$$\rho_c = \rho_c(z)$$

$\kappa$  hodnotu konstante,  $p(R, z) + B^2(R)/2\rho = p_e(z)$

$$\frac{dp}{dz} = -\rho(z)g$$

pro  $R \rightarrow \infty$ :  $\frac{dp_e}{dz} = -\rho_e(z)g$

pro  $R=0$ :  $p_i(z) + \frac{B_i^2}{2\rho} = p_e(z)$

$$\frac{dp_i}{dz} = -\rho_i(z)g$$

diferencujeme:  $\frac{dp_i}{dz} = \frac{dp_e}{dz}$  protože u  $B=0$  je  $B_i$  konst

$$\rightarrow \rho_i = \rho_e$$

→ dále:  $p_i < p_e$ ,  $\rho_i = \rho_e = \rho = \frac{\rho_0}{\rho_0} = 1$

$$p_i + \frac{B_i^2}{2\rho} = p_e$$

$$\frac{p_i}{p_e} + \frac{B_i^2}{2\rho p_e} = 1 \quad \text{dávadíme starou verzi}$$

$$\frac{T_i(z)}{T_e(z)} = 1 - \frac{B_i^2}{2\rho p_e(z)}$$

v místě obvykle  $\frac{B_i^2}{2\rho} \geq p_e(z)$  (obecně!)

diferencujeme:

$$\frac{2B_i(z)dB_i(z)}{2\rho} > \frac{dp_e}{dz}$$

pro  $\frac{dp_e}{dz} < 0 \Rightarrow \frac{dB_i(z)}{dz} < 0$

frakce s výřezem diverguje, protože  $\rho = \int \rho_0 dS = \text{konst.}$

~~$$\rho = \int \rho_0 dS = \text{konst.}$$~~

~~$$\frac{\partial \rho}{\partial t} = 0 = \int \frac{\partial \rho_0}{\partial t} dS$$~~

protože  $p_i + \frac{B_i^2}{2\rho} = p_e$

hladíme

$$\frac{dp_i}{dz} = \frac{dp_e}{dz} - \frac{2B_i}{2\rho} \frac{dB_i}{dz}$$

$$\Rightarrow \frac{dp_i}{dz} > \frac{dp_e}{dz} \quad \text{ale pro } \frac{dp_i}{dz} < 0 \quad \text{a} \quad \frac{dp_e}{dz} < 0$$

( $\Rightarrow$  musíme buďtože  $\rho$  frakce se vyřezá (klesá))

17. kompletná disipace stravy v kondenz:

$$B \sim 1000 \text{ G} = 0,1 \text{ T}$$

$$V \sim (10 \times 10 \times 10) \text{ Mm}^3 = 10^{18} \text{ m}^3$$

$$\rightarrow E_m = \frac{B^2}{2\mu} V = \frac{0,01}{2\mu} 10^{18} \text{ J} \sim 4 \times 10^{21} \text{ J}$$

tedy o mnoho řádů méně než se pozoruje  
 $\rightarrow$  hledava disipace není zdrojem  
energie.

### Časové škály:

neexplodovat - Joulovým teplem:

$$t_j = \frac{B^2/2\mu}{j^2/\sigma} = \left| j = \frac{1}{\mu} \nabla \times B \sim \frac{1}{\mu} \frac{B}{L} \right| =$$

$$= \frac{B^2/2\mu}{B^2/\mu^2 L^2} = \frac{\mu L^2 \sigma}{2}$$

pro normální: difúze pole

$$\frac{\partial B}{\partial t} = \frac{1}{\mu\sigma} \nabla^2 B \Rightarrow \frac{B}{t_{diff}} \sim \frac{1}{\mu\sigma} \frac{B}{L^2}$$

$$\Rightarrow t_{diff} \sim \mu\sigma L^2$$

difúzivita  $\xi = \frac{1}{\mu\sigma} \rightarrow t_{diff} \sim \frac{L^2}{\xi}$

chromosféra:  $\xi \sim 10^7 \frac{\text{cm}^2}{\text{s}}$

kondenz:  $\xi \sim 3 \times 10^3 \frac{\text{cm}^2}{\text{s}}$

pozorovat?

dynamický jev.  
(advekce)

dynamický čas:  
 $t_{dyn} \sim \frac{L}{v}$

normálne:

$$t_j = \frac{L^2}{\zeta} = \left( \frac{LN}{\zeta} \right) \left( \frac{L}{N} \right) = R_M t_d$$

↙ magnetické Reynoldsovo číslo,  
popisuje silu advekcie mag. pole  
vůči difúzi

pre  $R_M \gg 1$  je  $t_j \gg t_d$

⇒ v dynamickom procese určuje  
difúzie roli

príklad  $v = c_A \sim 10^6$  m/s

$$t_j = \frac{L^2}{\zeta} = \frac{L c_A}{\zeta} \frac{L}{c_A} = N_L \frac{L}{c_A} = N_L t_d$$

↙ Alfvénovo číslo

→  $N_L$  vysoké → plazma vysokej vodivosti  
→  $N_L$  nízke → rezistívna plazma  
↑ Lundquistovo číslo

príklad: charakteristiky časovej neexplózivnej difúzie  
dynamického procesu s Alfvénovými  
rychlosťami

$$t_j = \frac{L N_L}{c_A}$$

príklad:  $L \sim 10^7$  m,  $c_A \sim 10^6$  m/s,  $\zeta \sim 10^3$  cm<sup>2</sup>/s,

$$N_L \sim 10^{14}, \quad \frac{L}{c_A} \sim 10^{-5}$$

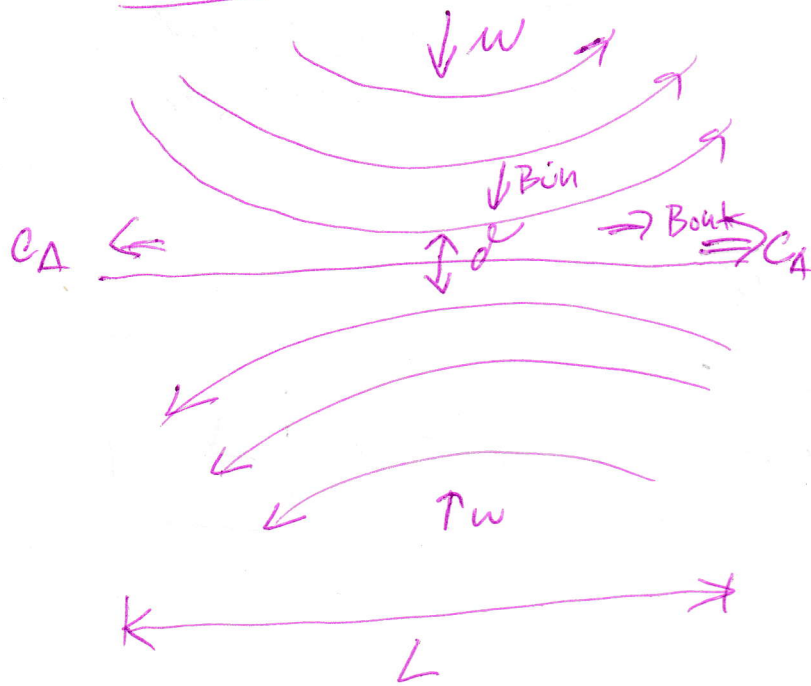
$$\Rightarrow t_j \sim 10^{15} \text{ s}$$

ponaučte



# Explozivní disipace

Smith-Parker model:



antiparalelní pole  
středně je toto v  
délce  $L$

plazma vytlačována  
mezi antiparalelními  
poli různou rychlostí

$\nabla B$  rotace do vytvoření  
steady-state

v  $\delta$  proudová hustota:  $j = \frac{1}{\mu} \nabla \times B \sim \frac{B}{\mu \delta}$

energetická rovnice:  $\dot{U} = \zeta j^2 = \zeta \frac{B^2}{\mu^2 \delta^2}$

v bodě u osy vzniká překlad (termální  
stabilita  $t_{th} = L/C_A$ ), který je balancován  
středem mag. pole (střed termální energie  
by odebrána mag. pole)

$$U \sim \dot{U} t_{th} \Rightarrow \frac{B^2}{2\mu} = \zeta \frac{B^2}{\mu^2 \delta^2} \frac{L}{C_A}$$

$$\delta = \sqrt{\frac{2\zeta L}{\mu C_A}} \propto \sqrt{\frac{\zeta L}{C_A}}$$

ree kontinuity:

$$j_w L = j \delta C_A$$

$$\rightarrow w = \frac{j}{L} C_A = \frac{\sqrt{\frac{\zeta L}{C_A}}}{L} C_A = \sqrt{\frac{\zeta C_A}{L}}$$

použijeme Lundquistovo číslo

$$N_L = \frac{LCA}{\ell}$$

$$W = \sqrt{\frac{\ell CA}{L}} = \sqrt{\frac{\ell}{LCA} \cdot CA^2} = \frac{CA}{\sqrt{N_L}} \leftarrow \text{rychlost rekonexce}$$

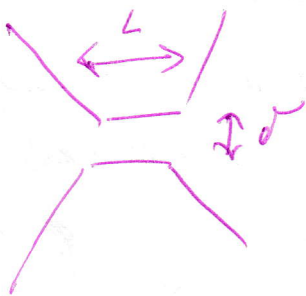
$\Rightarrow$  charakteristický čas

$$t_S = \frac{L}{W} = \frac{L \sqrt{N_L}}{CA}$$

pro korónu z příkladu:  $t_S \sim 10^8 \text{ s}$  \*  
msec

### Pečlivější model

$t_S \sim L \Rightarrow$  zkrácení  $L$  lze zvětšit rychlost



po výpočtu:

$$t_p \sim \frac{L \ln N_L}{CA}$$

pro korónu:  $t_p \sim 300 \text{ s}$

tedy dvípace v tenkých vstřádku (proudových vstřádku)

Reformaace mag. pole přidává volnou energii  
 $\rightarrow \Delta B \rightarrow$  proudové vstřáky

### anomální rezistivita

- rychlost elektronů  
anomální s rychlostí  
plazmových toků

$\Rightarrow$  užití rezistivity

$\Rightarrow$  zkrácení dvípacího  
časů  
( $N_L \propto \frac{1}{\ell}$ )

# Energieweise S-P modella

$$\sigma \ll L \Rightarrow W \ll c_A$$

rychlota vtoku elmag. energie  $\rightarrow$  Poyntingův flux  
lok na plochu:

$$\langle (E \times H) \rangle L \approx EHL = \left| \begin{array}{l} \text{E indukovaná} \\ \rightarrow E = W \times B \end{array} \right| =$$

$$= E \frac{B_{in}}{\mu} L = W \frac{B_{in}^2}{\mu} L$$

poměr kinetické a elmag. energie na vtoku: (provoz)

$$\frac{K_{in}}{E_{mag, in}} = \frac{W \frac{1}{2} \rho W^2 L}{W \frac{B_{in}^2}{\mu} L} = \frac{W^2}{2 \frac{B_{in}^2}{\mu \rho}} = \frac{W^2}{2 c_A^2} \ll 1$$

většina vtečené energie je magnetická

na výtoku:  $\mu c_A B_0 = W B_{in}$  zachovávat  
mg. toku

$$\text{protože } \nabla \cdot B = 0 \Rightarrow \frac{B_{out}}{\sigma} \sim \frac{B_{in}}{L} \Rightarrow B_{out} \ll B_{in}$$

výtoku elmag. energie  $E_{B_{out}} \ll \mu W \ll E_{mag, in}$

protože  $B_{out} \ll B_{in}$  i  $\sigma \ll L$

? co se stalo se zbytkem vtečené energie?

$$\frac{E_{K, out}}{E_{mag, in}} = \frac{1/2 \rho c_A^2 (c_A \sigma)^2}{W B_{in}^2 L / \mu} = \frac{1/2 c_A^2}{c_A^2} = \frac{1}{2}$$

$\Rightarrow$  polovina vtečené elmag. energie  
konvertována na kinetickou energii,  
druhá polovina do tepla

rozvalka:

$$\begin{aligned} -\nabla \cdot (\mathbf{E} \times \mathbf{H}) &= \mathbf{E} \cdot (\nabla \times \mathbf{H}) - \mathbf{H} \cdot (\nabla \times \mathbf{E}) = \\ &= \mathbf{E} \cdot \mathbf{j} - \frac{\partial}{\partial t} \left( \frac{B^2}{2\mu} \right) \end{aligned}$$

⇒ vtok e(mag. energie vede bud' k  
elektrické energii ( $\mathbf{E} \cdot \mathbf{j}$ ) nebo změně  
mag. energie

pro  ~~$\mathbf{E}$~~   $\mathbf{E} = \frac{\mathbf{j}}{\sigma} - \mathbf{v} \times \mathbf{B}$  (Ohmův zákon)

$$\mathbf{E} \cdot \mathbf{j} = \left( \frac{\mathbf{j}}{\sigma} \right) \cdot \mathbf{j} = \frac{j^2}{\sigma} + \mathbf{v} \cdot (\mathbf{j} \times \mathbf{B}) =$$

pokud  $\frac{\partial B}{\partial t} = 0$

$$\Rightarrow -\nabla \cdot (\mathbf{E} \times \mathbf{H}) = \frac{j^2}{\sigma} + \mathbf{v} \cdot (\mathbf{j} \times \mathbf{B})$$

$\frac{j^2}{\sigma}$  — Jouleovo teplo  
 $\mathbf{v} \cdot (\mathbf{j} \times \mathbf{B})$  — kinetická energie



# Urychlová'ím' částice stochastickým polem

v 1D

$$\frac{dw}{dt} = \frac{d^2x}{dt^2} = \frac{q}{m} E(x,t)$$

trajektorie  $x = X(t)$

$$\Rightarrow \frac{d^2X}{dt^2} = \frac{q}{m} E(X(t), t)$$

platí E-pole: <sup>Maruy</sup>

$$x = x_0 + v_0 t + X^I(t) + X^{II}(t) + \dots$$

✓ z pod. podmínek

pro opravy:  $\dot{X}^I = \frac{q}{m} E(x_0 + v_0 t, t)$

E-pole je stochastické, ale má toužící

$$\langle E(x,t) E(x+\xi, t+\tau) \rangle = \langle E^2 \rangle R(\xi, \tau)$$

korelační fun

⇒ změna rychlosti za čas  $t$  do prvního řádu

$$\Delta \dot{X}^I = \dot{X}^I(t) - \dot{X}^I(0) = \frac{q}{m} \int_0^t dt' E(x_0 + v_0 t', t')$$

středová'm'm:

$$\langle (\Delta \dot{X}^I)^2 \rangle = \frac{q^2}{m^2} \int_0^t dt' \int_0^t dt'' \langle E(x_0 + v_0 t', t') E(x_0 + v_0 t'', t'') \rangle =$$
$$= \frac{q^2}{m^2} \int_0^t dt' \int_0^t dt'' \langle E^2 \rangle R(\tau, \tau)$$

pro  $\tau = t'' - t'$

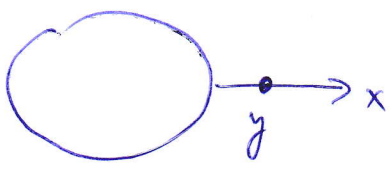
pro  $t \gg \tau$

$$\left\langle \frac{(\Delta w)^2}{\Delta t} \right\rangle = \frac{q^2}{m^2} \langle E^2 \rangle \int_0^t dt' R(\tau, \tau)$$

⇒ částice difunduje v rychlostním prostoru a získává energii i ve stochastických polích

Korona

→ jak měřit hustotu z pozorování?



$y \perp x$ ,  $y \parallel \text{b.s.}$   
 sférický symetrická koróna,  $E_k \dots$  emise  
 v objemu  $\propto$  měřítku směru

$$\rho^2 = \left(\frac{r}{2\theta}\right)^2 = x^2 + y^2 \rightarrow \rho d\rho = y dy = \sqrt{\rho^2 - x^2} dy$$

pozorovaná intenzita:

$$I(x) = \int_{-\infty}^{\infty} E_k(\rho) dy = 2 \int_0^{\infty} E_k(\rho) dy = 2 \int_0^{\rho} \frac{y E_k(y)}{\sqrt{\rho^2 - x^2}} dy$$

$E_k$  měřítková, tedy třeba invertovat  
 - lze analyticky: inverzní Abelova transformace:

$$\Rightarrow E_k(\rho) = -\frac{1}{\pi} \int_{\rho}^{\infty} \frac{dI/dx}{\sqrt{x^2 - \rho^2}} dx$$

ausatz: intenzita  $\propto k$  koróny je kvůli Thomsonu  
 rozptylu na elektronu

$$\rightarrow E_k(\rho) = \sigma_T n_e \frac{1}{4\pi} \int I_0(\psi) d\Omega$$

$d\Omega = r d\theta d\phi$

provozníkem lze určit, např. vlnová

$$n_e(\rho) = n_{e0} \left( \frac{1,5T}{\rho^6} + \frac{2,99}{\rho^{16}} \right), n_{e0} = 10^{14} \text{ m}^{-3}$$

hrubý odhad pro  $\rho \sim R_0$

$$E_k \sim \sigma_T n_e R_0 I_0; E_k(R_0) \sim 10^{-6} I_0$$

$$\Rightarrow n_e \sim \frac{E_k(R_0)}{\sigma_T R_0 I_0} \sim 4 \times 10^{13} \text{ m}^{-3}$$

Emission' kordus

→ zejména v RTG oblasti

- bound' zakemi' + bound-free p'echody

vezmeme: emitu' odha (m-1)-krat ionizovaneho prvku  $X^m$ , v nem' p'echod z  $j \rightarrow i$  elektronovu hladinu

$$X_j^{+m} \rightarrow X_i^{+m} + h\nu_{ij}$$

emitovata, 
$$P_{ij} = \underbrace{N_j(X^{+m})}_{\text{hladina}} \underbrace{A_{ji}}_{\text{emitovani'}} \underbrace{h\nu_{ij}}_{\text{koeficient}} \underbrace{\Psi_{ij}}_{\text{emitov' profil}}$$

$\int \Psi_{ij} d\nu = 1$

Kontinu' aprominac, hladina j populovane se zahladiv'ou svou s'azbou s elektriny, depulovane do nizsi'ch s'azbo'

prvku emitovata

$$P_{ij} = \underbrace{A_x}_{\text{relativni zastoupeni'}} \underbrace{G(T, \lambda_{ji})}_{\text{p'evodova funkce}} \underbrace{\frac{hc}{\lambda_{ji}}}_{\text{elektrona' hladina}} N_e^2$$

↳ relativni zastoupeni' X v'ici prvku

↳ p'evodova funkce

↳ elektrona' hladina

g.

Ades v oddeleni R

$$F(\lambda_{ji}) = \frac{1}{4\pi R^2} \int_V P_{ij} dV = \frac{1}{4\pi R^2} A_x \int G(T, \lambda_{ji}) \frac{hc}{\lambda_{ji}} N_e^2 dV =$$

$$= \frac{1}{4\pi R^2} A_x \int G(T, \lambda_{ji}) \frac{hc}{\lambda_{ji}} Q(T) dT$$

$$N_e^2 dV = Q(T) dT$$

diferenc'alni' m'ira emitce (DEM)

DEM - m'ira emitov'ou emitov'ou prvku v'ici prvku  
plazmatu jako fce teploty



k PEM, n 1-D je  $EM = \int Ne^2 dz$

$$EM = \int Ne^2 dz = \int Ne^2 \frac{dz}{dT} dT = \int Ne^2 \left(\frac{dT}{dz}\right)^{-1} dT$$

$PEM = Q(T)$

$$Ne^2 dV = \underbrace{Ne}_{\text{počet volných elektronů}} dV \underbrace{Ne}_{\text{el. hustota}}$$

→ přechod do vyšší hladiny srážení, tedy interakce emise ion na podstavě srážecího zářivá

pro oblast

$$L = 4\pi R^2 F(\lambda_{ii}) = \int Ne^2 P(T) dV = \int Q(T) P(T) dT$$

$$P(T) = A_x G(T, \lambda_{gs}) \frac{hc}{\lambda_{gs}}$$

→ zářivá srážka → poměr  $f_{ee} T$

$L \sim Ne^2 \Rightarrow$  gas ionů niti nad abnormální oblasť kóu niti  $Ne$ , ve kóu  $A_{plato}$

### Sluneční vítr

Chapmanova slone hydrostatická rovnice

→ pokre energetická rce s udemim & rovnováha hydrostatických sil

$$F = -\alpha_n \nabla T, \quad \nabla \cdot F = 0$$

$$\alpha_n = \alpha_0 T^{1/2} \leftarrow \text{spitzer}$$

ve sférických souřadnicích:

$$\text{div}(-\alpha_n \nabla T) = 0 \Rightarrow \frac{d}{dr} \left( r^2 \alpha_n \frac{dT}{dr} \right) = 0$$

integraci:  $r^2 \alpha_0 \frac{dT}{dr} = c$



přesoforováda'ním:  $\frac{2}{7} \frac{d}{dr} (T^{7/2}) = \frac{C}{\alpha_0 r^2}$

integrace:  $T^{7/2} = -\frac{\tilde{C}}{2\alpha_0 r} + \tilde{D}$

$\tilde{C}$  a  $\tilde{D}$  z obzorojdi:  $T=T_0 \iff r=R_0$

$T \rightarrow 0 \iff r \rightarrow \infty$

$\Rightarrow \tilde{D}=0, \tilde{C} = -T_0^{7/2} \alpha_0 R_0$

tedy ríšením:  $T = T_0 \left(\frac{R_0}{r}\right)^{2/7}$

pro  $T_0 = 10^6 \Rightarrow r = 1AU = 214R_0$

$T = 10^5 K$

(učin' uš pozorováním, ale  
v tabaci OK)

all hydrostatická rovnice

$\frac{dp}{dr} = -\frac{GM_0 \rho}{r^2} \quad | \quad p = \rho R T$

$\Rightarrow p = p_0 \exp \left\{ \frac{7 GM_0 \rho_0}{5 p_0 R_0} \left[ \left(\frac{R_0}{r}\right)^{5/7} - 1 \right] \right\}$

$\rho_0$  &  $p_0$  ... u pohlí

pro  $r \rightarrow \infty, p \rightarrow \infty \Rightarrow$  není fyzikální

$\frac{dp}{dr} = -\frac{GM_0 p}{r^2 RT} = -\frac{GM_0 p r^{-2/7} R_0^{2/7}}{\alpha T_0 r^2} =$

$= -\frac{GM_0 R_0^{2/7}}{\alpha T_0} p r^{-12/7}$

tedy  $\ln p = -\frac{GM_0 R_0^{2/7}}{\alpha T_0} r^{-5/7} + konst \Rightarrow$

tedy problém  $\rightarrow$  Pankova rovnice  
slučující ríšením